

# ПРИЛОЖЕНИЯ

## I. Уравнение Шредингера

1. Уравнение Шредингера для волновой функции  $\Psi(r_1, r_2, \dots, t)$  системы частиц имеет вид

$$\hat{\mathcal{H}}\Psi(r_1, r_2, \dots, t) = i\hbar \frac{\partial\Psi(r_1, r_2, \dots, t)}{\partial t}, \quad (1.1)$$

где  $\hat{\mathcal{H}}$  — оператор Гамильтона,  $t$  — время,  $r_1, r_2, \dots$  — координаты первой, второй и т. д. частиц. Если система находится в состоянии с определенной энергией  $E$ , то

$$\Psi(r_1, r_2, \dots, t) = \Psi(r_1, r_2, \dots) \exp\left(-iE\frac{t}{\hbar}\right), \quad (1.2)$$

и функция  $\Psi$  удовлетворяет уравнению

$$\hat{\mathcal{H}}\Psi = E\Psi. \quad (1.3)$$

Уравнение (1.3), дополненное условиями непрерывности и ограниченности волновой функции  $\Psi$ , определяет допустимые собственные энергии и собственные волновые функции системы.

2. Укажем, как можно найти допустимые энергии бесспиновой частицы, движущейся в сферически симметричном потенциале

$$\hat{U}(r) = U(r),$$

где  $|r| = r$ . Уравнение (1.3) принимает в этом случае вид (см. также гл. I, § 3)

$$\left(-\frac{\hbar^2}{2M} \frac{\partial^2}{\partial r^2} + U(r)\right)\Psi(r) = E\Psi(r)$$

или (в сферических координатах  $r, \vartheta, \varphi$ )

$$\left(-\frac{\hbar^2}{2M} \frac{1}{r^2} \frac{\partial}{\partial r} \left(r^2 \frac{\partial}{\partial r}\right) - \frac{\hbar^2}{2Mr^2} \Lambda(\vartheta, \varphi) + U(r)\right)\Psi(r, \vartheta, \varphi) = E\Psi(r, \vartheta, \varphi), \quad (1.4)$$

где оператор

$$\Lambda(\vartheta, \varphi) = \frac{1}{\sin \vartheta} \left\{ \frac{\partial}{\partial \vartheta} \left( \sin \vartheta \frac{\partial}{\partial \vartheta} \right) + \frac{1}{\sin \vartheta} \frac{\partial^2}{\partial \varphi^2} \right\} \quad (1.5)$$

с точностью до множителя  $-\hbar^2$  совпадает с оператором квадрата орбитального момента количества движения. Как известно из курса математической физики, решение уравнения (1.4) следует искать в виде

$$\Psi(r, \vartheta, \varphi) = R_{El}(r) Y_{lm}(\vartheta, \varphi), \quad (1.6)$$

где функции  $Y_{lm}(\theta, \phi)$  и  $R_{El}(r)$  удовлетворяют уравнениям

$$-\Delta Y_{lm} = l(l+1) Y_{lm}, \quad (1.7)$$

$$\frac{d^2}{dr^2} (r R_{El}(r)) + \frac{2M}{\hbar^2} \left( E - U(r) - \frac{\hbar^2 l(l+1)}{2Mr^2} \right) (r R_{El}(r)) = 0. \quad (1.8)$$

Уравнение (1.7) определяет возможные собственные значения квадрата орбитального момента количества движения. В курсах математической физики показывается, что уравнение (1.7) имеет решения только при  $l = 0, 1, 2, \dots$ . Следовательно, орбитальный момент количества движения также может принимать только целочисленные положительные значения.

Уравнение (1.8) при заданном  $l$  определяет допустимые значения энергии частицы в потенциале  $U(r)$ .

Найдем эти энергии в простейшем случае потенциала, имеющего вид «потенциального ящика» с бесконечно высокими стенками (рис. I.1):

$$U(r) = \begin{cases} 0, & r < a, \\ \infty, & r > a. \end{cases} \quad (1.9)$$

Ограничимся случаем  $l = 0$ . Обозначив произведение  $r R_{El}(r)$  через  $\chi_{El}(r)$ , находим, что в области  $r < a$  уравнение (1.8) сводится к уравнению

$$\frac{d^2 \chi_{E0}}{dr^2} + \frac{2ME}{\hbar^2} \chi_{E0} = 0. \quad (1.10)$$

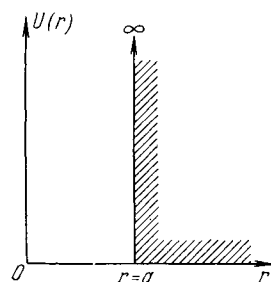


Рис. I.1. «Потенциальный ящик» с бесконечно высокими стенками.

Интересующее нас решение этого уравнения должно, во-первых, быть ограниченным и, во-вторых, обращаться в нуль в точке  $r = a$ , так как частица не может проникнуть в область бесконечно высокого барьера. Удовлетворяющие этим требованиям решения имеют вид

$$\chi_{E0}(r) \sim \sin \left( \sqrt{\frac{2ME}{\hbar^2}} r \right), \quad (1.11)$$

где

$$\sqrt{\frac{2ME}{\hbar^2}} \cdot a = n\pi, \quad n = 1, 2, \dots \quad (1.12)$$

Из соотношения (1.12) получаем допустимые энергии

$$E_n = (n\pi\hbar)^2 / 2Ma^2. \quad (1.13)$$

«Порядковый номер»  $n$  допустимой энергии  $E_n$  имеет простой математический смысл:  $n - 1$  равняется числу нулей (узлов) радиальной части  $R_{E0}(r)$  волновой функции в области  $0 < r < a$ . Как правило, дискретные состояния нумеруются не с помощью энергии  $E_n$ , а с помощью главного квантового числа  $n$ , которое пишется вместо  $E_n$  в качестве нижнего индекса у функции  $R$ .

Как видно из формулы (1.13), энергия частицы растет с увеличением  $n$ . Это заключение остается справедливым и при движении частицы в других потенциалах притяжения (см. гл. III, § 4).

3. Рассмотрим теперь уравнение Шредингера для двух частиц с массами  $M_1$  и  $M_2$ , взаимодействующих друг с другом посредством потенциала  $U(r_1 - r_2)$ .

Уравнение (I.3) в этом случае принимает вид

$$\left( -\frac{\hbar^2}{2M_1} \frac{\partial^2}{\partial r_1^2} - \frac{\hbar^2}{2M_2} \frac{\partial^2}{\partial r_2^2} + U(r_1 - r_2) \right) \Psi(r_1, r_2) = E\Psi(r_1, r_2). \quad (I.14)$$

Для решения этого уравнения целесообразно перейти к переменным

$$R = \frac{M_1 r_1 + M_2 r_2}{M_1 + M_2}, \quad r = r_1 - r_2, \quad (I.15)$$

где  $R$  — радиус-вектор центра тяжести двух частиц. В новых переменных уравнение (I.14) записывается следующим образом:

$$\left( -\frac{\hbar^2}{2(M_1 + M_2)} \frac{\partial^2}{\partial R^2} - \frac{\hbar^2}{2M_{\text{прив}}} \frac{\partial^2}{\partial r^2} + U(r) \right) \Psi(R, r) = E\Psi(R, r), \quad (I.16)$$

где величина  $M_{\text{прив}} = \frac{M_1 M_2}{M_1 + M_2}$  носит название *приведенной массы*.

В уравнении (I.16) переменные разделяются. Поэтому его решения можно искать в виде

$$\Psi(R, r) = f(R)\varphi(r), \quad (I.17)$$

где  $f(R)$  и  $\varphi(r)$  — волновые функции, описывающие соответственно движение центра масс и относительное движение двух частиц. Подставив (I.17) в (I.16), находим уравнения для функций  $f$  и  $\varphi$ :

$$\left\{ \frac{\hbar^2}{2(M_1 + M_2)} \frac{\partial^2}{\partial R^2} - (E - \varepsilon) \right\} f(R) = 0, \quad (I.18)$$

$$\left( \frac{\hbar^2}{2M_{\text{прив}}} \frac{\partial^2}{\partial r^2} + (\varepsilon - U(r)) \right) \varphi(r) = 0, \quad (I.19)$$

где величина  $\varepsilon$  имеет смысл энергии относительного движения двух частиц. Таким образом, задача о движении двух взаимодействующих частиц сводится к задаче о независимом движении двух «различных частиц» с массами  $M_1 + M_2$  и  $M_{\text{прив}}$ .

4. В заключение на примере рассеяния бесспиновых частиц силовым центром  $U(r)$  рассмотрим амплитуду рассеяния и ее связь с эффективным сечением. Решение  $\Psi(r)$  уравнения Шредингера (1.48), описывающее рассеяние частиц на больших расстояниях от рассеивающего центра, должно иметь вид суперпозиции плоской волны  $e^{ikr}$  налетающих частиц и расходящихся волн  $f(n', n) \frac{e^{ikr}}{r}$  рассеянных частиц:

$$\Psi(r) \xrightarrow{|r| \rightarrow \infty} e^{ikr} + f(n', n) \frac{e^{ikr}}{r}, \quad (I.20)$$

где  $n = k/k$ ,  $n' = r/|r|$ . Величина  $f(n', n)$  называется *амплитудой рассеяния*. Поток налетающих частиц равняется  $|e^{ikr}|^2 \cdot v = v$ , а рассеянных в направлении  $n'$  равен  $|f(n', n)|^2 \left| \frac{e^{ikr}}{r} \right|^2 v = |f(n', n)|^2 \cdot v \cdot \frac{1}{r^2}$  ( $v$  — скорость частиц). Соответственно в элемент  $d\Omega$  телесного угла в направлении  $n'$  в 1 с будет попадать число  $dn$  рассеянных частиц, равное  $v \cdot |f(n', n)|^2 \frac{1}{r^2} \cdot r^2 d\Omega = v |f|^2 d\Omega$ .

Согласно (1.53) отсюда следует, что дифференциальное сечение  $d\sigma/d\Omega$  рассеяния выражается через амплитуду следующим образом:

$$\frac{d\sigma}{d\Omega} = \frac{dn}{v} = |f(\mathbf{n}', \mathbf{n})|^2. \quad (I.21)$$

## II. Перевод дифференциальных сечений и энергий из лабораторной системы в систему центра инерции и наоборот

Приведем формулы перевода скоростей, энергий, углов и дифференциальных эффективных сечений из лабораторной системы, т. е. системы, в которой мишень покоятся, в СЦИ. Для простоты ограничимся случаем упругого рассеяния нерелятивистской частицы. Пусть  $M_1, M_2$  — массы сталкивающихся частиц,  $\mathbf{v}_0$  — скорость налетающей частицы. Скорости частиц в СЦИ до столкновения и после столкновения обозначим соответственно через  $\mathbf{v}_1, \mathbf{v}_2$  и  $\mathbf{v}'_1, \mathbf{v}'_2$ :

$$\mathbf{v}_1 = \frac{M_2 \mathbf{v}_0}{M_1 + M_2}, \quad \mathbf{v}_2 = -\frac{M_1 \mathbf{v}_0}{M_1 + M_2}, \quad (II.1)$$

$$|\mathbf{v}_1| = |\mathbf{v}'_1| \quad \text{и} \quad |\mathbf{v}_2| = |\mathbf{v}'_2|.$$

Соотношение между полярными углами  $\vartheta$  и  $\vartheta_L$  вылета рассеянной частицы в СЦИ и в ЛС находится следующим образом. Скорость вылета рассеянной частицы в ЛС

$$\mathbf{v}_L = \mathbf{v}'_1 + \mathbf{v}_c, \quad (II.2)$$

где  $\mathbf{v}_c$  — скорость системы центра инерции,

$$\mathbf{v}_c = \frac{M_1 \mathbf{v}_0}{M_1 + M_2}.$$

Спроецировав векторное равенство (II.2) на направление, задаваемое вектором  $\mathbf{v}_c$ , и перпендикулярное ему направление, находим, что

$$v_L \cos \vartheta_L = v_1 \cos \vartheta + v_c, \quad v_L \sin \vartheta_L = v'_1 \sin \vartheta \quad (II.3)$$

Азимутальные же углы в ЛС и СЦИ, очевидно, равняются друг другу:

$$\varPhi_L = \varPhi. \quad (II.4)$$

Из уравнений (II.3) получаем, исключая  $v_L$ , что

$$\operatorname{tg} \vartheta_L = \frac{\sin \vartheta}{\gamma + \cos \vartheta}, \quad (II.5)$$

где

$$\gamma = \frac{v_c}{v'_1} = \frac{M_1}{M_2}.$$

Заметим, что точно такое же по форме выражение получается и для экзотермической реакции, но  $\gamma$  в этом случае определяется другим равенством:

$$\gamma = \left( \frac{M_1 M'_1}{M_2 M'_2} \cdot \frac{\varepsilon}{\varepsilon + Q} \right)^{1/2}, \quad \text{где} \quad \varepsilon = \frac{M_1 M_2}{2(M_1 + M_2)} v_0^2. \quad (II.6)$$

Здесь  $M'_1, M'_2$  — массы вылетающих частиц,  $Q$  — теплота реакции,